

**Research Paper**

# Using The qEKF Algorithm for Satellite Attitude Estimation with Two Magnetometer & Sun Sensors

**Abbas Saeidi<sup>1</sup>, Nasser Rahbar<sup>2\*</sup>, and Mohammad Ali Alirezapouri<sup>3</sup>**

1, 2, 3. University of Electrical and Electronics Complex, Malek Ashtar University of Technology,  
Tehran, IRAN.

\* rahbar\_nas@mut.ac.ir

*In recent years, according to progress of aerospace industries particularly satellites it has been paying much attention to attitude determination of satellite. Attitude determination of satellite in various ways, such as: radio, radar, optical methods and using GPS, q and kalman filter is done, that each of these methods has advantages and disadvantages. Due to disturbance in space, high accuracy in attitude determination, various algorithms to obtain properly accurately attitude, desirable access to position, velocity and time of satellite to achieve desired attitude determination satellite are considered a top priority. However, in this Paper, first we review the various methods for attitude determination satellite and then examine of operation and relations of algorithms discussed. This Paper focus on the advantages and disadvantages of qEKF algorithm in compare to other methods are available.*

**Keywords:** Satellite, Attitude determination, Attitude estimation, qEKF algorithm, kalman filter, q-method

---

1. M.Sc.  
2. Associate Professor (Corresponding Author)  
3. PhD

## مقاله علمی- پژوهشی

# کاربرد الگوریتم qEKF در تخمین وضعیت ماهواره با استفاده از حسگرهای مغناطیسی و خورشید

عباس سعیدی<sup>۱</sup>، ناصر رهبر<sup>۲\*</sup>، محمدعلی علیرضاپوری<sup>۳</sup>

۱، ۲ و ۳- مجتمع دانشگاهی برق و کامپیوتر، دانشگاه صنعتی مالک اشتر، تهران، ایران

\*Rahbar\_nas@mut.ac.ir

تعیین و کنترل وضعیت موضوعی است که همراه با توسعه فناوری ماهواره با اقبال مواجه شده است. طی سال‌های گذشته روش‌های قطعی و تکراری برای تعیین وضعیت ماهواره‌ها به منظور بهبود عملکرد آین تعمین وضعیت، توسعه فراوانی یافته و الگوریتم‌های متعدد در این حوزه ارایه شده است. زیرسیستم تعیین وضعیت تأمین کننده داده‌های ورودی موردنیاز الگوریتم‌های تعیین موقعیت و کنترل وضعیت ماهواره است. در ماهواره‌ای نزدیک به زمین قرار می‌گیرند و از حسگرهای محدودی برای تعیین وضعیت بهره می‌گیرند، به طور معمول از ترکیب روش‌های قطعی و تکراری تعیین وضعیت و در شرایطی که داده‌های یکی از حسگرهای از دسترس خارج شوند، از سوئیچ بین این روش‌ها استفاده می‌گردد. روش‌های قطعی و تکراری دارای مزایا و معایبی گوناگونی هستند و در این مقاله با استفاده از ایده ترکیب روش‌های قطعی و تکراری، روش qEKF برای تعیین وضعیت ماهواره به کار گرفته می‌شود. در توسعه مبانی ریاضی الگوریتم QEKF، از ایده فیلتر کالمون توسعه یافته برای اصلاح روش تکراری Quest استفاده می‌شود و در نتیجه روشی جدید برای تخمین بردار حالت تشکیل شده از حالت‌های وضعیت و غیر وضعیت ماهواره توسعه داده می‌شود. برای ارزیابی عملکرد روش پیشنهادی، شبیه‌سازی‌های مختلفی برای یک ماهواره در مدار نزدیک به زمین که دارای حسگرهای خورشیدی، مغناطیسی و ژیروسکوپ سه محوره است، انجام گرفته و نتایج با روش SOAR مقایسه شده است. بررسی نتایج نشان دهنده عملکرد قابل قبول روش پیشنهادی در قیاس با دیگر روش‌ها در تخمین وضعیت ماهواره و با ایاس ژیروسکوپ‌هاست.

واژه‌های کلیدی: ماهواره، تعیین وضعیت، فیلتر کالمون توسعه یافته، الگوریتم qEKF، روش q

## مقدمه

با توجه به پیشرفت روزافزون صنایع هوافضایی و به خصوص صنعت ماهواره‌ای، در سال‌های اخیر محققان بسیاری به موضوع تعیین و کنترل وضعیت ماهواره پرداخته‌اند. مسئله تعیین وضعیت ماهواره وابستگی بسیاری به حسگرهای تعیین وضعیت مورد استفاده در ماهواره دارد. از سوی دیگر، محدودیت‌های اقتصادی باعث می‌گردد که در بسیاری از ماهواره‌ها، امکان استفاده از حسگرهای گران قیمت و دقیق فراهم نباشد. این امر باعث گشته است که مسئله تعیین وضعیت ماهواره با استفاده از حسگرهای ارزان قیمت مورد توجه قرار گیرد و در نتیجه موضوع توسعه الگوریتم‌های تعیین وضعیت

## علامه و اختصارات

T	ماتریس وضعیت
y	بردار مشاهدات در دستگاه بدنه فضای پیما
n	بردار واحد مرجع مرتبط با اندازه‌گیری در دستگاه اینرسی
$a_i$	وزن‌های ثابت مرتبط با هر جفت بردار
θ	وضعیت
s	حالات‌های غیروضعیت

۱. کارشناس ارشد
۲. دانشیار (نویسنده مخاطب)
۳. دکتری

و وابستگی عملکرد فیلتر به دقت مدل نیز یکی از نقاط ضعف این روش‌ها است. بر این اساس، در این مقاله با استفاده از ایده ترکیب روش‌های تکراری و قطعی که در [10] با عنوان qEKF ارائه شده است، الگوریتمی را برای تخمین وضعیت یک ماهواره که در مداری نزدیک به زمین حرکت می‌کند توسعه می‌دهیم که تنها از حسگرهای مغناطیسی، زیروسکوپ و حسگر خورشید بهره می‌گیرد. الگوریتم پیشنهادی به طور همانگونه تخمین غیرخطی کواترنیون وضعیت را با استفاده از روش q داونپورت و تخمین غیرخطی حالات غیر وضعیت را در چارچوب فیلتر کالمون تعمیم یافته باهم ترکیب و برای تخمین حالات از تکنیک‌های فیلتر کالمون استفاده می‌کند. فیلتر qEKF در مقایسه با فیلترهای دیگری چون QUEST [17] این مزیت را دارد که قادر است علاوه بر حالات وضعیت، حالات غیر وضعیت را نیز تخمین بزند ولی فیلتر QUEST تنها قادر است تخمین بزند. فیلتر SOAR [17] هنگامی که کسوف رخ می‌دهد قابلیت تخمین حالات وضعیت و غیر وضعیت را ندارد ولی الگوریتم qEKF پیشنهادی همه این کمبودها و نقطه‌ضعف‌ها را با ملاحظات در نظر گرفتن تخمین وضعیت اولیه و استفاده از ایده فیلتر کالمون بر روی روش‌های قطعی برطرف می‌کند. بنابراین در ادامه و در بخش دوم به مسئله پایه‌ای و هبا به عنوان پایه تعیین وضعیت قطعی پرداخته می‌شود. پس آن و در بخش سوم به موضوع فیلتر qEKF پرداخته خواهد شد و مبانی ریاضی این فیلتر ارائه خواهد گردید. در بخش چهارم نیز به ارائه نتایج شبیه‌سازی روش پیشنهادی برای تعیین وضعیت یک ماهواره که در مدار نزدیک به زمین حرکت می‌کند، ارائه می‌گردد و در نهایت در بخش پنجم جمع‌بندی مقاله ارائه خواهد شد.

## مسئله و هبا، راه حل داونپورت و تحلیل کوواریانس خطای تخمین

از دیدگاه تعیین وضعیت، مسئله و هبا روشی برای محاسبه بردار وضعیت ماهواره با استفاده از حداقل‌سازی حداقل مربعات وزن دار خطای بین ماتریس وضعیت و بردارهای اندازه‌گیری است که لازم است دارای حداقل دو بردار اندازه‌گیری مستقل و غیر وابسته خطی باشیم [2] که این توصیف را می‌توان به شکل زیر نشان داد:

$$J = \frac{1}{2} \sum_{i=1}^n a_i \|y_i - Tn_i\|^2 \quad (1-\text{الف})$$

$$\sum_i a_i = 1 \quad (1-\text{ب})$$

که روابط فوق،  $T$  ماتریس وضعیت،  $y$  بردار مشاهدات در دستگاه بدنه فضاییما،  $n$  بردار واحد مرجع مرتبط با اندازه‌گیری در دستگاه

موردنوجه جدی محققان واقع شود [۱-۳]. حسگرهای مختلفی مانند ردیاب ستاره [۴]، ناوبری جهانی، خورشیدی [۵]، مغناطیسی [۶]، اینرسی (زاپروها و شتاب‌سنج‌ها) و زمین [۷] برای تعیین وضعیت ماهواره به کار گرفته می‌شوند [۸]. در ماهواره‌های کوچک عموماً از دو حسگر خورشیدی و حسگر مغناطیسی برای تعیین وضعیت ماهواره استفاده می‌گردد. لازم به ذکر است که حسگر خورشیدی در ماهواره‌های که در مدارهای نزدیک به زمین قرار دارند، در بخشی از مسیر حرکتی خود در سایه زمین قرار می‌گیرد و در این شرایط تنها حسگر مغناطیسی برای تعیین وضعیت به کار گرفته می‌شود.

در تعیین وضعیت فضایی‌ها طیف گسترده‌ای از الگوریتم‌ها برای تعیین وضعیت با استفاده از داده‌های حسگرهای تعیین وضعیت مورداستفاده قرار می‌گیرند. روش‌های تعیین وضعیت ماهواره به دودسته کلی روش‌های قطعی و تکراری تقسیم‌بندی می‌شوند [۹]. روش تعیین وضعیت قطعی یا بدون حافظه، روشی است که وضعیت ماهواره را به صورت نقطه‌به‌ نقطه<sup>۴</sup> تعیین می‌کند. در این روش حل مسئله تعیین وضعیت اغلب بدون در نظر گرفتن خواص آماری اندازه‌گیری‌های به دست‌آمده از حسگرهای وضعیت انجام می‌شود و لازم است که حداقل دو بردار اندازه‌گیری وضعیت یا بهیان دیگر دو حسگر تعیین وضعیت داشته باشیم [۱۰]. یک سال پس از ارائه روش جری برای تعیین وضعیت توسط هارولد بلک [۱۱] خانم گریس و هبا مسئله تعیین وضعیت مشهور خود را منتشر کرد که برای هر تعداد بردار مشاهدات پاسخگو بود [۱۲]. اولین الگوریتم عملی برای حل مسئله و هبا روش q بود که توسط داونپورت<sup>۵</sup> مطرح و توسط کیت<sup>۶</sup> [۱۳] منتشر شد. روش‌های بسیاری برای حل این مسئله ارائه شده است که بسیاری از آن‌ها روش‌هایی عددی هستند. مهم‌ترین ضعف این الگوریتم‌ها آن است که قادر نیستند تا متغیرهای غیر وضعیت (مانند بایاس زاپروها) را تخمین بزنند و از سوی دیگر در صورت از دست دادن یک حسگر، این روش قادر به تخمین وضعیت ماهواره نخواهد بود [۱۰].

در مقابل روش‌های قطعی، روش‌های تکراری تعیین وضعیت ماهواره علاوه بر داده‌های به دست‌آمده از حسگرهای وضعیت از مدل دینامیکی حرکت فضایی‌ها نیز بهره می‌گیرند تا قادر باشند مسیر حرکتی ماهواره را با دقت مناسبی تخمین بزنند. این روش‌ها عمدها مبتنی بر فیلترهای بیزین توسعه داده شده‌اند که از مهم‌ترین این روش‌ها می‌توان به خانواده فیلترهای کالمون و فیلترهای ذرهای اشاره کرد [۱۴-۱۶]. عدم قطعیت‌های موجود در مدل‌های دینامیکی

4. Rint-to-Point

5. Davenport

6. Keat

$$\mathbf{H} = \sum_{i=1}^n a_i ([\mathbf{y}_i \times] [\mathbf{n}_i \times] + [\mathbf{n}_i \times] [\mathbf{y}_i \times]) \quad (5)$$

شاخص عملکرد به معادله (۶) تبدیل می‌شود:

$$G = \sigma + 2q_4 \mathbf{z}^T \mathbf{q}_v + \mathbf{q}_v^T \mathbf{H} \mathbf{q}_v \quad (6)$$

که این شاخص با توجه به  $\bar{\mathbf{q}}$  بیشینه‌می‌شود، پس می‌توان از جمله  $\sigma$  صرف‌نظر کرد. حال با تعریف ماتریس بهره  $K$  به شکل رابطه (۱۱) مسئله بهینه‌سازی معادل این است که شاخص عملکرد  $G$  رابطه (۱۲) را بیشینه کنیم.

$$\mathbf{K} = \begin{bmatrix} \mathbf{H} & \mathbf{z} \\ \mathbf{z}^T & 0 \end{bmatrix} \quad (7)$$

$$G = \bar{\mathbf{q}}^T \mathbf{K} \bar{\mathbf{q}} \quad (7)$$

با حل این مسئله بیشینه‌سازی به وسیله ضرباب لاغرانژ به رابطه  $\bar{\mathbf{q}} = K\bar{\mathbf{q}} = \lambda \bar{\mathbf{q}}$  می‌رسیم که کواترنیون بهینه بردار ویژه مرتبط با بزرگ‌ترین مقدار ویژه شاخص عملکرد را بیشینه می‌کند و پس از آن تخمین وضعیت بهینه را تولید می‌کند. ماتریس تخمین وضعیت را می‌توان به دو ماتریس وضعیت واقعی و خطای وضعیت تجزیه کرد که در دستگاه بدن تعريف شده است.

$$\mathbf{T}(\hat{\bar{\mathbf{q}}}) = \mathbf{T}(\hat{\mathbf{q}}^*) \mathbf{T}(\bar{\mathbf{q}}) \quad (8)$$

هنگامی که در اندازه‌گیری‌ها خطای نداشته باشیم خطای وضعیت صفر خواهد بود که نتیجه مورد انتظاری است و تخمین وضعیت با وضعیت واقعی معادل می‌شود. اگر خطای در اندازه‌گیری‌ها لحظه شوند، مدل اندازه‌گیری‌ها به روابط زیر تبدیل می‌شوند:

$$\tilde{\mathbf{y}}_i = \mathbf{T}\mathbf{n}_i + \delta\mathbf{y}_i \quad (\text{الف})$$

$$\tilde{\mathbf{n}}_i = \mathbf{n}_i + \delta\mathbf{n}_i \quad (\text{ب})$$

حال شاخص عملکرد چنین تغییر می‌کند:

$$G = \delta\bar{\mathbf{q}}^{*T} \begin{bmatrix} \mathbf{H}_0 & -\delta\mathbf{z} \\ -\delta\mathbf{z}^T & 0 \end{bmatrix} \delta\bar{\mathbf{q}}^* \quad (\text{الف})$$

$$= \delta\bar{\mathbf{q}}^T \begin{bmatrix} \mathbf{H}_0 & -\delta\mathbf{z} \\ \delta\mathbf{z}^T & 0 \end{bmatrix} \delta\bar{\mathbf{q}} \quad (\text{ب})$$

$$\mathbf{H}_0 = \sum_{i=1}^n a_i ([\tilde{\mathbf{y}}_i \times] [\mathbf{T}\tilde{\mathbf{n}}_i \times] + [\mathbf{T}\tilde{\mathbf{n}}_i \times] [\tilde{\mathbf{y}}_i \times]) \quad (\text{ب})$$

$$\delta\mathbf{z} = -\sum_{i=1}^n a_i (\tilde{\mathbf{y}}_i \times \mathbf{T}\tilde{\mathbf{n}}_i) \quad (\text{ج})$$

فرم کلی مسئله مقدار ویژه همانند قبل در معادله (۱۱) نتیجه می‌شود:

$$\mathbf{H}_0 \delta\mathbf{q}_v + \delta q_4 \delta\mathbf{z} = \delta\lambda \delta\mathbf{q}_v \quad (11)$$

که مقدار ویژه بهینه  $\delta\lambda$  مقدار کوچکی است، در حالتی که اندازه‌گیری‌ها مناسب باشند مقدار ویژه بهینه صفر است و با اضافه کردن نویز نتیجه نزدیک به ماتریس تکین داونپورت می‌شود. توجه داشته باشید که خطای مقادیر کوچکی هستند ( $\delta\lambda \approx 0$  و  $\delta q_4 \approx 0$ ) و حل مسئله خطای

اینرسی و  $a_i$  وزن‌های ثابت مرتبط با هر جفت بردار هستند [۴ و ۳]. در صورتی که دو بردار اندازه‌گیری وضعیت از حسگرهای خورشید و مغناطیسی به دست آید، متغیرهای معرف این دو اندازه‌گیری و بردار مرجع مربوط در جدول ۱ ارائه شده است.

جدول ۱ - بردارهای مرجع و اندازه‌گیری مدل‌های مختلف ماهواره

اندازه‌گیری با حسگر خورشید	بردار مرجع خورشید	مدل خورشید	موقعیت ماهواره
$\mathbf{y}_1$	$\mathbf{n}_1$		
اندازه‌گیری با حسگر مغناطیسی	بردار مرجع میدان مغناطیسی	مدل میدان مغناطیسی	
$\mathbf{y}_2$	$\mathbf{n}_2$		

ماتریس  $T$  در فضای کواترنین‌ها به شکل زیر تعريف می‌شود:

$$\mathbf{T}(\bar{\mathbf{q}}) = \mathbf{I}_{3 \times 3} - 2q_4 [\mathbf{q}_v \times] + 2[\mathbf{q}_v \times]^2 \quad (\text{الف})$$

$$[\mathbf{q}_v \times] = \begin{bmatrix} 0 & -q_3 & q_2 \\ q_3 & 0 & -q_1 \\ -q_2 & q_1 & 0 \end{bmatrix} \quad (\text{ب})$$

با انجام عملیات ریاضی و برای کمینه کردنتابع هزینه  $J$ ، با تعريف به عنوان ماتریس پروفایل کافی است عبارت زیر را بیشینه کنیم:

$$\max_{\bar{\mathbf{q}}} G = \sum_{i=1}^n a_i \mathbf{y}_i^T \mathbf{T}(\bar{\mathbf{q}}) \mathbf{n}_i \quad (\text{الف})$$

$$B = \sum_{i=1}^n a_i \mathbf{y}_i \mathbf{n}_i^T \quad (\text{ب})$$

حال با توجه به خواص trace ماتریس، معادله (۳) را به صورت معادله (۴) بازنویسی و با جایگذاری (۳) در (۴) به معادله (۶) خواهیم رسید:

$$G = \text{trace}[G] = \text{trace} \left[ \sum_{i=1}^n a_i \mathbf{y}_i^T \mathbf{T} \mathbf{n}_i \right] \quad (\text{الف})$$

$$\Rightarrow G = \text{trace}[\mathbf{B}^T \mathbf{T}(\bar{\mathbf{q}})].$$

$$G = \text{trace}[\mathbf{B}^T] - 2q_4 \text{trace}[\mathbf{B}^T [\mathbf{q}_v \times]] + 2\text{trace}[\mathbf{B}^T [\mathbf{q}_v \times]^2] \quad (\text{ب})$$

با توجه به سه جمله شاخص عملکرد و تعريف روابط زیر، شاخص عملکرد به فرم معادله (۵) تغییر خواهد کرد:

$$\text{trace}[\mathbf{B}^T] = \text{trace}[\mathbf{B}] \equiv \sigma \quad (\text{الف})$$

$$-2q_4 \text{trace}[\mathbf{B}^T [\mathbf{q}_v \times]] = 2q_4 \mathbf{z}^T \mathbf{q}_v \quad (\text{ب})$$

$$\mathbf{z} = \sum_{i=1}^n a_i (\mathbf{y}_i \times \mathbf{n}_i) \quad (\text{ج})$$

$$2\text{trace}[\mathbf{B}^T [\mathbf{q}_v \times]^2] = \mathbf{q}_v^T \mathbf{H} \mathbf{q}_v \quad (\text{د})$$

تابعی از وضعیت ماهواره هستند، به دست خواهد آمد. حالت بهینه خطی، با یک فیلتر کالمن به روزرسانی وضعیت را انجام داده و به عنوان اندازه‌گیری‌های جدید بکار می‌رود و حالت‌های غیروضعیت روش qEKF و به روزرسانی کوواریانس‌ها تعیین حالت بهینه خطی هستند. برای توسعه الگوریتم qEKF فرض کنید بردار اندازه‌گیری به صورت زیر تعریف شود:

$$\mathbf{y} = \mathbf{Hx} + \boldsymbol{\eta} \quad (16)$$

که در این رابطه بردار حالت  $\mathbf{x}$ ، ماتریس مشاهدات  $\mathbf{H}$  و نویز سفید  $\boldsymbol{\eta}$  با میانگین صفر و با کوواریانس مرتبط  $\mathbf{R}$  می‌باشند.  $\hat{\mathbf{x}}^-$  را به عنوان یک تخمین پیشین حالت با کوواریانس خطای تخمین  $\mathbf{P}^-$  تعریف می‌کنیم و  $\hat{\mathbf{x}}^+$  نیز تخمین پسین حالت با کوواریانس خطای تخمین  $\mathbf{P}^+$  نشان داده می‌شود، همچنین خطاهای پیشین و پسین به ترتیب به وسیله رابطه‌های زیر نشان داده می‌شوند:

$$\mathbf{e}^- = \mathbf{x} - \hat{\mathbf{x}}^- \quad (17\text{-الف})$$

$$\mathbf{e}^+ = \mathbf{x} - \hat{\mathbf{x}}^+ \quad (17\text{-ب})$$

معادله به روزرسانی حالت (تخمین پسین حالت) و خطای تخمین پسین حالت به شکل زیر بیان می‌شود:

$$\hat{\mathbf{x}}^+ = (\mathbf{I} - \mathbf{KH}) \hat{\mathbf{x}}^- + \mathbf{Ky} = \hat{\mathbf{x}}^- + \mathbf{K}(\mathbf{y} - \mathbf{H}\hat{\mathbf{x}}^-) \quad (18\text{-الف})$$

$$\begin{aligned} \mathbf{e}^+ &= \mathbf{x} - \hat{\mathbf{x}}^+ = \mathbf{x} - \hat{\mathbf{x}}^- - \mathbf{K}(\mathbf{Hx} + \boldsymbol{\eta} - \mathbf{H}\hat{\mathbf{x}}^-) \\ &= \mathbf{e}^- - \mathbf{K}(\mathbf{He}^- + \boldsymbol{\eta}) = (\mathbf{I} - \mathbf{KH})\mathbf{e}^- - \mathbf{K}\boldsymbol{\eta} \end{aligned} \quad (18\text{-ب})$$

که ماتریس  $\mathbf{K}$  بهره کالمن و  $\boldsymbol{\eta}$  نویز اندازه‌گیری است. می‌دانیم که تخمین دارای خطای با میانگین صفر و ماتریس کوواریانسی است که به شکل زیر تعریف می‌شود:

$$\mathbf{P}^- = \mathbb{E}\left[\mathbf{e}^-(\mathbf{e}^-)^T\right] \quad (19)$$

فرض می‌شود که خطاهای تخمین و نویز اندازه‌گیری ناهمبسته هستند، بنابراین  $\mathbb{E}\left[\mathbf{e}^-\boldsymbol{\eta}^T\right] = 0$  است. بنابراین کوواریانس خطای تخمین پسین چنین تعریف می‌شود:

$$\begin{aligned} \mathbf{P}^+ &= \mathbb{E}\left[\mathbf{e}^+(\mathbf{e}^+)^T\right] \\ &= (\mathbf{I} - \mathbf{KH})\mathbf{P}^- (\mathbf{I} - \mathbf{KH})^T + \mathbf{KRK}^T \end{aligned} \quad (20)$$

که به عنوان فرمول جزوی برای به روزرسانی کوواریانس شناخته می‌شود [۱۰]. در فیلتر کالمن بهره  $\mathbf{K}$  طوری انتخاب می‌شود که خطای تخمین را کمینه کند که با کمینه کردن trace کوواریانس خطای تخمین پسین انجام می‌شود.

$$\min_{\mathbf{K}} \text{trace} \left[ \mathbf{P}^+ \right] = \text{trace} \left[ (\mathbf{I} - \mathbf{KH})\mathbf{P}^- (\mathbf{I} - \mathbf{KH})^T + \mathbf{KRK}^T \right] \quad (21)$$

تخمین در حالی که مؤلفه‌های بردار خطای کواترنیون به فرم معادله (۱۲) باشند، به دست می‌آید:

$$\delta \mathbf{q}_v = -\mathbf{H}_\theta^{-1} \delta \theta \quad (12\text{-الف})$$

$$\delta \theta = 2\delta \mathbf{q}_v \quad (12\text{-ب})$$

بنابراین، کوواریانس خطای وضعیت محاسبه می‌شود [۵]:

$$\begin{aligned} \mathbf{P}_{\theta\theta} &= \mathbb{E}\left\{\delta \theta \delta \theta^T\right\} = 4\mathbb{E}\left\{\delta \mathbf{q}_v \delta \mathbf{q}_v^T\right\} \\ &= 4\mathbf{H}_\theta^{-1} \mathbb{E}\left\{\delta \mathbf{z} \delta \mathbf{z}^T\right\} \mathbf{H}_\theta^{-1} \end{aligned} \quad (13)$$

برای محاسبه کوواریانس  $\mathbb{E}\left\{\delta \mathbf{z} \delta \mathbf{z}^T\right\}$  با تقریب مرتبه اول داریم:

$$\begin{aligned} \delta \mathbf{z} &= -\sum_{i=1}^n a_i (\hat{\mathbf{y}}_i \times \mathbf{T} \hat{\mathbf{n}}_i) = -\sum_{i=1}^n a_i [(y_i + \delta y_i) \times \mathbf{T} (n_i + \delta n_i)] \\ \Rightarrow \delta \mathbf{z} &= -\sum_{i=1}^n a_i (y_i \times \mathbf{T} n_i + y_i \times \mathbf{T} \delta n_i + \delta y_i \times \mathbf{T} n_i + \delta y_i \times \mathbf{T} \delta n_i) \\ \Rightarrow \delta \mathbf{z} &= -\sum_{i=1}^n a_i (y_i \times \mathbf{T} \delta n_i + \delta y_i \times \mathbf{T} n_i) \end{aligned} \quad (14)$$

با این فرض معمول که هر منع خطای با دیگری ناهمبسته هستند نتیجه می‌شود که:

$$\mathbb{E}\left\{\delta \mathbf{z} \delta \mathbf{z}^T\right\} = \sum_{i=1}^n a_i^2 \left\{ \begin{aligned} &[y_i \times] \mathbb{E}\left\{\delta n_i \delta n_i^T\right\} \mathbf{T}^T [y_i \times]^T + \\ &[\mathbf{T} n_i \times] \mathbb{E}\left\{\delta y_i \delta y_i^T\right\} [\mathbf{T} n_i \times]^T \end{aligned} \right\} \quad (15)$$

در عمل، وضعیت واقعی و بردارهای اندازه‌گیری نامعلوم هستند و باید با مقادیر تخمین زده شده و اندازه‌گیری شده  $\hat{\mathbf{T}}$  و  $\hat{\mathbf{n}}$  تخمین زده شوند. مهم است که توجه شود که مسئله و هبای مربع باقی‌مانده  $i - \hat{q}(\hat{n}_i - \mathbf{T} \hat{\mathbf{y}}_i)$  می‌کند. در نتیجه تضمینی وجود ندارد که خطای کواترنیونی که از طریق این روش به دست تخمین وضعیت بهینه مفید است.

## روش فیلتر کالمن تعیین‌یافته Q (qEKF)

فیلتر کالمن ابزاری پایه برای تخمین بازگشتی است. در این بخش از آن به عنوان چارچوبی برای توسعه الگوریتم پیشنهادی استفاده می‌شود. فیلتر  $q$ EKF به روزرسانی خطاهای غیروضعیت را بر پایه روش  $q$  انجام می‌دهد و سپس به روزرسانی حالت‌های غیروضعیت را با استفاده از تکنیک فیلتر کالمن به انجام می‌رساند. بردار حالت بهینه و به روزرسانی کوواریانس در ابتدا برای حالت پاره‌سازی‌بندی شده (وضعیت و غیروضعیت) و با فرض خطی بودن اندازه‌گیری‌هایی که

$$\hat{s}^+ = \hat{s}^- + K_s (y - H_0 \hat{\theta}^-) \quad (28)$$

با جایگذاری بهره بهینه از معادله (۲۵) و باقیمانده از معادله (۲۷) معادله جایگزین برای بهروزرسانی حالت غیروضعیت بهینه به صورت زیر خواهد شد:

$$\hat{s}^+ = \hat{s}^- + K_{s,opt} K_{\theta, opt}^{-1} \Delta \theta = \hat{s}^- + P_{s\theta}^{-1} (P_{\theta\theta}^-)^{-1} \Delta \theta \quad (29)$$

برای تحلیل کوواریانس نیز مشابه قبل عمل کرده و خطای تخمین پسین حالت وضعیت و غیروضعیت به ترتیب چنین تعریف خواهد شد:

$$e_\theta^+ = (I - K_\theta H_\theta) e_\theta^- - K_\theta \eta \quad (30-\text{الف})$$

$$e_s^+ = (I - K_s H_s) e_s^- - K_s \eta \quad (30-\text{ب})$$

بهروزرسانی خطای کوواریانس برای همه حالت‌ها بیان می‌شود:

$$P^+ = E \left\{ e^+ (e^+)^T \right\} = (I - KH) P^- (I - KH)^T + KRK^T \quad (31)$$

حال بهروزرسانی کوواریانس همه حالت‌ها را با استفاده از معادلات (۲۲)، (۲۴-ب)، (۲۴-ج) و جایگذاری بهره بهینه از معادله (۲۴-ج) و ساده‌سازی مناسب به روابط زیر خواهیم رسید:

$$P_{\theta\theta}^+ = P_{\theta\theta}^- - K_{\theta,opt} W K_{\theta,opt}^T = P_{\theta\theta}^- (I - K_{\theta,opt} H_\theta)^T \quad (32-\text{الف})$$

$$P_{\theta s}^+ = P_{\theta s}^- - P_{\theta\theta}^- H_\theta^T K_{s,opt}^T \quad (32-\text{ب})$$

$$P_{s\theta}^+ = P_{s\theta}^- - K_{s,opt} H_\theta P_{\theta\theta}^- \quad (32-\text{ج})$$

$$P_{ss}^+ = P_{ss}^- - K_{s,opt} W K_{s,opt}^T \quad (32-\text{د})$$

بعد از بهروزرسانی وضعیت، مأموریت باقی‌مانده برای فیلتر توسعه یافته، بهروزرسانی مناسب برای حالت‌های غیروضعیت است. این امر با استفاده از اطلاعات جدیدی که از بهروزرسانی حالت‌های وضعیت بدست آمده است، انجام می‌شود. درواقع از بهروزرسانی وضعیت  $\hat{\theta}^+$  به عنوان اندازه‌گیری استفاده می‌کنیم. با این شباهندازه‌گیری، ماتریس  $H_\theta^*$  ماتریسی همانی است و ماتریس مشاهده حالت غیروضعیت  $P_s^+ = 0$  صفر است. بنابراین، شباهندازه‌گیری بدین صورت داده می‌شود:

$$y^* = \hat{\theta}^+ = \theta + \eta^+ \quad (33-\text{الف})$$

$$\eta^+ = -e_\theta^+ \quad (33-\text{ب})$$

توجه شود که برای باقیمانده مقادیر این بخش از بالانویس (\*). برای شباهندازه‌گیری استفاده می‌کنیم. در اینجا، خطای تخمین پسین  $e_\theta^+$  با خطای تخمین پیشین  $e_s^-$  رابطه دارد. این ارتباط بایستی به طور صحیح محاسبه شود و از این‌رو تعریف می‌شود:

$$\begin{aligned} \frac{\partial \text{trace} [P^+]}{\partial K} &= 0 = \\ \frac{\partial}{\partial K} \text{trace} [(I - KH) P^- (I - KH)^T + KRK^T] & \\ \left. \begin{aligned} 0 &= \frac{\partial}{\partial K} \left[ \text{trace} [P^-] + \text{trace} [-KHP^-] \right. \right. \\ &\quad \left. \left. + \text{trace} [-P^T H^T K^T] + \text{trace} [KHP^T H^T K^T] \right] \right. \\ &\quad \left. \left. + \text{trace} [KRK^T] \right] \right) \\ 0 &= -2P^T H^T + 2KHP^T H^T + 2KR \\ K(HP^T H^T + R)^{-1} &= P^T H^T \end{aligned} \right) \quad (22-\text{الف}) \end{aligned}$$

$$K_{opt} = P^T H^T (HP^T H^T + R)^{-1} \quad (22-\text{ب})$$

اکنون فرض کنید که علاوه بر تخمین بردار وضعیت، علاقه‌مند باشیم که متغیرهای دیگری را نیز تخمین بزنیم. فرض کنید که بردار حالت به شکل زیر تعریف شود:

$$x = \begin{bmatrix} \theta \\ s \end{bmatrix} \quad (23)$$

که  $\theta$  وضعیت و  $s$  حالت‌های غیروضعیت باشند. معمولاً وضعیت زوایای سه‌گانه رول، پیچ و یا وو و حالت غیروضعیت بایاس زیروسکوپ است. ماتریس مشاهده، بهره و ماتریس‌های کوواریانس به طور مشابه پارتبیشن‌بندی می‌شوند:

$$H = [H_\theta \quad H_s] \quad (24-\text{الف})$$

$$K = \begin{bmatrix} K_\theta \\ K_s \end{bmatrix} \quad (24-\text{ب})$$

$$P = \begin{bmatrix} P_{\theta\theta} & P_{\theta s} \\ P_{s\theta} & P_{ss} \end{bmatrix} \quad (24-\text{ج})$$

فرض می‌شود که اندازه‌گیری‌ها تابعی از وضعیت  $\theta$ ، و مستقل از حالت‌های غیروضعیت هستند. بهره بهینه کالمن به صورت زیر تعریف می‌شود:

$$K_{opt} = \begin{bmatrix} K_{\theta,opt} \\ K_{s,opt} \end{bmatrix} = \begin{bmatrix} P_{\theta\theta}^- H_\theta^T \\ P_{s\theta}^- H_\theta^T \end{bmatrix} W^{-1} \quad (25-\text{الف})$$

$$W = H_\theta P_{\theta\theta}^- H_\theta^T + R \quad (25-\text{ب})$$

درنتیجه، معادله بهروزرسانی مانده چنین تعریف خواهد شد:

$$\hat{\theta}^+ = \hat{\theta}^- + K_\theta (y - H_\theta \hat{\theta}^-) \quad (26-\text{الف})$$

$$\varepsilon = y - H_\theta \hat{\theta}^- \quad (26-\text{ب})$$

همچنین می‌توان مانده را بر حسب بهره کالمن و تابعی از وضعیت نوشت:

$$\varepsilon = K_{\theta,opt}^{-1} \Delta \theta \quad (27-\text{الف})$$

$$\Delta \theta = \hat{\theta}^+ - \hat{\theta}^- \quad (27-\text{ب})$$

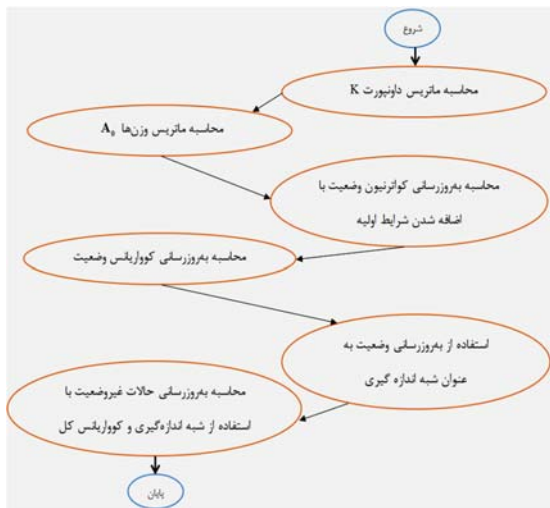
که  $\Delta \theta$  بهروزرسانی وضعیت بهینه است. برای حالت‌های غیروضعیت داریم:

عباس سعیدی، ناصر رهبر و محمدعلی علیرضاپوری

و بهروزسانی حالت غیروضعیت نیز به شکل زیر انجام می‌گیرد:

$$\begin{aligned} \hat{s}^* &= \hat{s}^- + \mathbf{K}_s^* \left( \mathbf{y}^* - \hat{\theta}^- \right) = \hat{s}^- + \mathbf{K}_s^* \left( \hat{\theta}^+ - \hat{\theta}^- \right) \\ &= \hat{s}^- + \mathbf{P}_{s0}^{-1} \left( \mathbf{P}_{00}^- \right)^{-1} \Delta \theta \end{aligned} \quad (42)$$

در انتهای این بخش به صورت شماتیک، فرایند اجرای این الگوریتم در شکل ۲ معرفی شده است:



شکل ۲ - فرایند اجرای الگوریتم پیشنهادی

### شبیه‌سازی تخمین وضعیت ماهواره با استفاده حسگرهای خورشیدی و مغناطیسی و با استفاده از الگوریتم qEKF

در این بخش با انجام شبیه‌سازی برای یک ماهواره فرضی در مدار نزدیک به زمین، عملکرد الگوریتم پیشنهادی مورد بررسی قرار گرفته و عملکرد آن را با الگوریتم SOAR مقایسه می‌شود. پارامترهای شبیه‌سازی در جدول ۲ ارائه شده است. مرکز زمین به عنوان مرکز دستگاه مختصات مرجع در نظر گرفته می‌شود و دستگاه اینرسی و دستگاه بدن ماهواره، دستگاه‌های مورد استفاده برای محاسبه وضعیت هستند. با فرض غیرفعال بودن زیرسیستم کنترل وضعیت ماهواره، اندازه سرعت زاویه‌ای آن در هر سه محور حرکتی، ثابت فرض می‌شود که بردار سرعت در طول مسیر تغییر جهت می‌دهد. ماهواره دارای حسگرهای خورشیدی، مغناطیسی و ژیروسکوپ است. فرض می‌شود که بردارهای واقعی میدان مغناطیسی و خورشید در دسترس است و بردارهای اندازه‌گیری آتشته به نویز است که در جدول ۲، پارامترهای شبیه‌سازی ارائه شده است. وزن‌های اسکالر مسئله و هبا با درنظر گرفتن مدل اندازه‌گیری QUEST به صورت  $1/\sigma_{\text{sun}}^2$

$$\mathbf{C}^* = \begin{bmatrix} \mathbf{C}_0^* \\ \mathbf{C}_s^* \end{bmatrix} = \begin{bmatrix} \mathbf{E}\left\{ \mathbf{e}_0^- (\boldsymbol{\eta}^*)^T \right\} \\ \mathbf{E}\left\{ \mathbf{e}_s^- (\boldsymbol{\eta}^*)^T \right\} \end{bmatrix} \quad (34)$$

با جایگذاری برای  $\mathbf{e}_0^+$  خواهیم داشت:

$$\begin{aligned} \mathbf{C}_\theta^* &= -\mathbf{E}\left\{ \mathbf{e}_0^- (\mathbf{e}_0^+)^T \right\} = -\mathbf{E}\left\{ \mathbf{e}_0^- (\mathbf{e}_0^-)^T \right\} (\mathbf{I} - \mathbf{K}_0 \mathbf{H}_0)^T \\ &= -\mathbf{P}_{00}^- (\mathbf{I} - \mathbf{K}_0 \mathbf{H}_0)^T \end{aligned} \quad (35)$$

$$\begin{aligned} \mathbf{C}_s^* &= -\mathbf{E}\left\{ \mathbf{e}_s^- (\mathbf{e}_s^+)^T \right\} = -\mathbf{E}\left\{ \mathbf{e}_s^- (\mathbf{e}_s^-)^T \right\} (\mathbf{I} - \mathbf{K}_0 \mathbf{H}_0)^T \\ &= -\mathbf{P}_{s0}^- (\mathbf{I} - \mathbf{K}_0 \mathbf{H}_0)^T \end{aligned} \quad (35)$$

خواهیم داشت:

$$(\mathbf{I} - \mathbf{K}_{0,\text{opt}} \mathbf{H}_0)^T = (\mathbf{P}_{00}^-)^{-1} \mathbf{P}_{00}^+ \quad (36)$$

با این فرض که یک بهره وضعیت بهینه،  $\mathbf{K}_{0,\text{opt}}$  داشته باشیم، ماتریس‌های کوواریانس ساده‌سازی می‌شوند:

$$\mathbf{C}_\theta^* = -\mathbf{P}_{00}^+ \quad (37)$$

$$\mathbf{C}_s^* = -\mathbf{P}_{s0}^+ (\mathbf{P}_{00}^-)^{-1} \mathbf{P}_{00}^+ \quad (37)$$

با توجه به معادلات فوق بهینه چنین به دست خواهد آمد:

$$\mathbf{K}^* = \left( \mathbf{P} \mathbf{H}^T + \mathbf{C}^* \left( \mathbf{H}^* \mathbf{P} \mathbf{H}^T + \mathbf{R}^* + \mathbf{H}^* \mathbf{C}^* + \mathbf{C}^{*T} \mathbf{H}^T \right)^{-1} \right)^{-1} \quad (38)$$

همچنین خواهیم داشت:

$$\mathbf{H}^* = \begin{bmatrix} \mathbf{H}_0^T & \mathbf{H}_s^T \end{bmatrix} = [\mathbf{I} \quad 0]$$

$$\mathbf{R}^* = \mathbf{E}\left\{ \boldsymbol{\eta}^* (\boldsymbol{\eta}^*)^T \right\} = \mathbf{P}_{00}^+$$

$$\mathbf{K}^* = \begin{bmatrix} \mathbf{K}_\theta^* \\ \mathbf{K}_s^* \end{bmatrix}$$

که در این روابط داریم:

$$\mathbf{K}_\theta^* = (\mathbf{P}_{00}^- + \mathbf{C}_0^*) (\mathbf{P}_{00}^- + \mathbf{P}_{00}^+ + \mathbf{C}_0^* + \mathbf{C}_0^{*T})^{-1} \quad (39)$$

$$\mathbf{K}_s^* = (\mathbf{P}_{s0}^- + \mathbf{C}_s^*) (\mathbf{P}_{00}^- + \mathbf{P}_{00}^+ + \mathbf{C}_0^* + \mathbf{C}_0^{*T})^{-1} \quad (39)$$

همچنین با جایگذاری و ساده‌سازی خواهیم داشت:

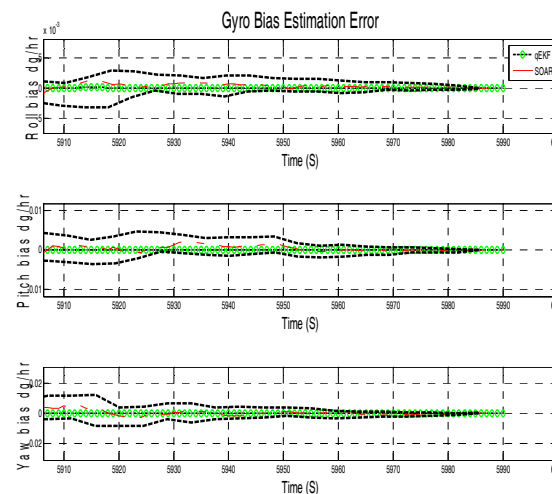
$$\mathbf{K}_0^* = (\mathbf{P}_{00}^- - \mathbf{P}_{00}^+) (\mathbf{P}_{00}^- + \mathbf{P}_{00}^+ - \mathbf{P}_{00}^+ - \mathbf{P}_{00}^+)^{-1} = \mathbf{I} \quad (40)$$

با استفاده از  $\hat{\theta}^+$  به عنوان یک شبکه اندازه‌گیری، اطلاعات اضافی در مورد وضعیت به دست می‌آید. بهره بهینه  $\mathbf{K}_s^*$  با روش مشابه به وسیله جایگزینی مقادیر مناسب برای  $\mathbf{C}_0^*$ ,  $\mathbf{C}_s^*$  و  $\mathbf{P}_{00}^+$  به رابطه زیر تبدیل می‌شود:

$$\begin{aligned} \mathbf{K}_s^* &= \left( \mathbf{P}_{00}^- - \mathbf{P}_{s0}^- (\mathbf{P}_{00}^-)^{-1} \mathbf{P}_{00}^+ \right) (\mathbf{P}_{00}^- + \mathbf{P}_{00}^+ - \mathbf{P}_{00}^+ - \mathbf{P}_{00}^+)^{-1} \\ &= \mathbf{P}_{s0}^- \left[ \mathbf{I} - (\mathbf{I} - \mathbf{K}_{0,\text{opt}} \mathbf{H}_0)^T \right] \left[ \mathbf{P}_{00}^- \left( \mathbf{I} - (\mathbf{I} - \mathbf{K}_{0,\text{opt}} \mathbf{H}_0)^T \right) \right]^{-1} \\ &= \mathbf{P}_{s0}^- \mathbf{H}_{0,\text{opt}}^T \mathbf{K}_{0,\text{opt}}^T (\mathbf{P}_{00}^- \mathbf{H}_{0,\text{opt}}^T \mathbf{K}_{0,\text{opt}}^T)^{-1} = \mathbf{P}_{s0}^- (\mathbf{P}_{00}^-)^{-1} \end{aligned} \quad (41)$$

## مثال اول: تعیین وضعیت با استفاده از حسگرهای مغناطیسی و خورشیدی

در این مثال فرض می‌شود که در تمام دوره مداری به صورت سنکرون از داده‌های حسگرهای مغناطیسی و خورشید استفاده شده و تخمین بایاس ژایرو و زوایای غلت، فراز و سمت ماهواره با استفاده از الگوریتم qEKF انجام می‌گیرد. برای مقایسه نتایج با الگوریتم SOAR نیز مقایسه می‌شود. نتایج این شبیه‌سازی در شکل ۲ ارائه شده است. در شکل ۲-الف، خطای تخمین وضعیت و در شکل ۲-ب، خطای تخمین بایاس ژایروها ترسیم شده است. در این شکل‌ها منحنی با رنگ مشکی نشان دهنده پوش حداکثر خطای تخمین در یکصد اجرای مختلف الگوریتم است. بررسی این شکل‌ها نشان دهنده عملکرد تقریباً مشابه دو الگوریتم فوق با فرض در اختیار داشتن داده‌های دو حسگر مغناطیسی و خورشید در کل مدار ماهواره است. همان‌طور که در این شکل‌ها مشاهده می‌شود باگذشت زمان و پیشرفت الگوریتم، خطای تخمین براز هر سه پارامتر غلت، فراز و سمت به صفر میل می‌کند. همچنین خطای بایاس نیز به صفر میل کرده و نشان دهنده عملکرد مناسب‌تر تخمین حالت بایاس ژایرو توسط روش qEKF نسبت به روش SOAR است.



ب: خطای تخمین بایاس ژایروها

شکل ۲- خطای تخمین وضعیت و بایاس ژایرو با استفاده از دو روش SOAR و qEKF در مثال ۱-

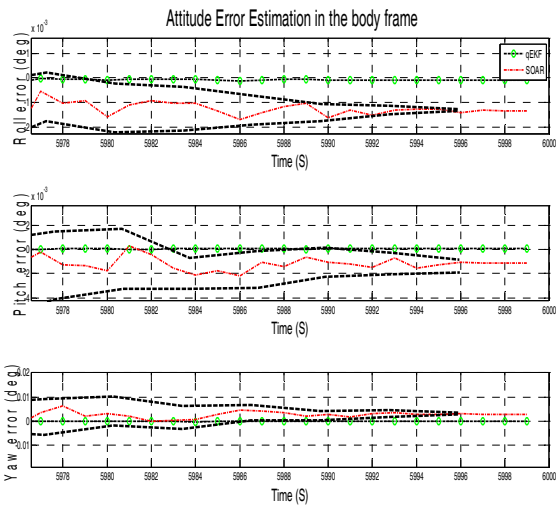
مثال در شکل ۳ نمایش داده شده است. در شکل ۳-الف خطای تخمین وضعیت و در شکل ۳-ب خطای تخمین بایاس ژایروها برای دو روش qEKF و SOAR ارائه شده است. شکل ۳ نشان دهنده میل کردن خطای تخمین وضعیت به صفر همزمان با پیشرفت الگوریتم است. در شکل ۳-ب نیز مشخص است که

$\omega_{\text{mag}}^1$  به ترتیب برای حسگر خورشید و حسگر مغناطیسی سنج انتخاب می‌گرددند بردار حالت شامل زوایای غلت، فراز و سمت ماهواره و بایاس ژایروسکوپ است.

جدول ۲- پارامترهای شبیه‌سازی

نویز حسگر خورشید	$\sigma_{\text{sun}}$	۰/۱ درجه
نویز حسگر مغناطیسی	$\sigma_{\text{mag}}$	ناو تو سلا ۲۲۰
(Angular Random Walk)	$\sigma_v$	$3.3 \times 10^{-7} \text{ rad/sec}^5$
(Angular Random Walk)	$\sigma_u$	$3.3 \times 10^{-10} \text{ rad/sec}^{1.5}$
بردار حالت	$x = [\theta \ s]^T$	زوایای اولر و بایاس سه ژایرو
زمان نمونهبرداری	$T_s$	یک ثانیه
زمان شبیه‌سازی	$T_f$	۶۰۰۰ ثانیه
مدار ماهواره		مدار دایروی در فاصله ۶۲۲ کیلومتری از سطح زمین
صفحه مداری ۴۵ درجه		•

با سه مثال، عملکرد الگوریتم پیشنهادی در تخمین وضعیت ماهواره و تخمین بایاس ژایروها مورد بررسی و مقایسه یا دیگر روش‌ها قرار می‌گیرد. از آنجاکه سرعت زوایای ماهواره ثابت فرض شده است، در ارائه نتایج تنها خطای تخمین وضعیت مورد توجه قرار گرفته است.



الف: خطای تخمین وضعیت

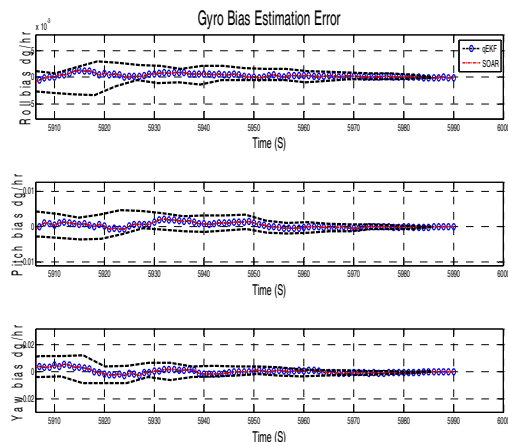
شکل ۲- خطای تخمین وضعیت و بایاس ژایرو با استفاده از دو روش SOAR و qEKF در مثال ۱-

## مثال دوم: تعیین وضعیت با حسگر مغناطیسی سنج

در این مثال فرض شده است که تنها از حسگر مغناطیسی برای تعیین وضعیت استفاده گردد. در این مثال داده حسگر خورشید به صورت یک بردار ثابت و در واقع برداری ایده‌آل در نظر گرفته شده است. نتایج شبیه‌سازی روش پیشنهادی و روش SOAR برای این

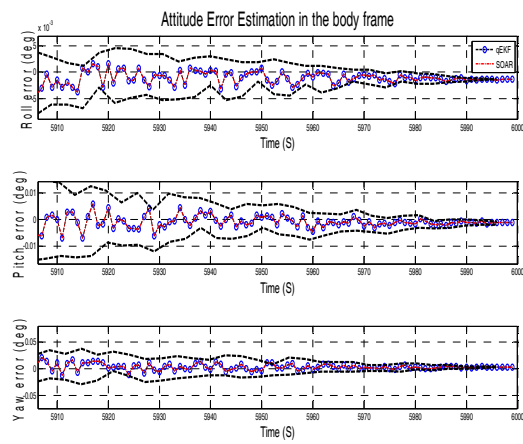
عباس سعیدی، ناصر رهبر و محمدعلی علیرضاپوری

هستند با دقت خوبی وضعیت و بایاس ژایروها را تخمین بزنند و در این شرایط عملکرد این دو الگوریتم تفاوت چندانی با یکدیگر ندارد.



ب: خطای تخمین بایاس ژایروها

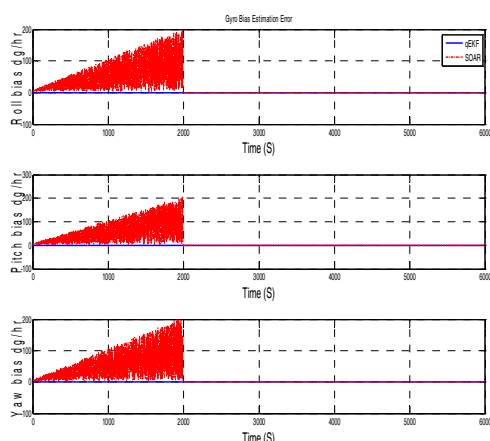
خطای تخمین بایاس ژایروها نیز به تدریج به صفر همگرا شده است. در واقع این مثال نشان دهنده این موضوع است که در صورت در اختیار داده های دقیق از دو حسگر، هر دو الگوریتم ها قادر



الف: خطای تخمین وضعیت

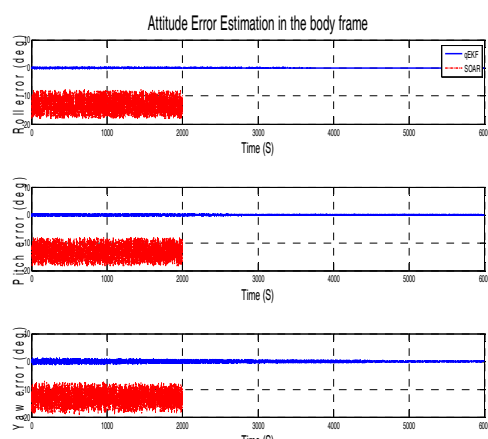
شکل ۳- خطای تخمین وضعیت و بایاس ژایروها با استفاده از دو روش qEKF و SOAR در مثال

در شکل ۴ ترسیم شده است. در شکل ۴-الف، خطای تخمین وضعیت ماهواره و در شکل ۴-ب، خطای تخمین بایاس ژایروها ترسیم شده است. در هر دو شکل مشخص است که روش پیشنهادی عملکرد بسیاری بهتری نسبت به الگوریتم SOAR بهخصوص در شرایطی که ماهواره در سایه زمین است، دارد. در واقع روش SOAR به دلیل آن که روشی تکراری است، بدون داده حسگر خورشید قابل استفاده نخواهد بود. این مثال به خوبی نشان دهنده برتری روش پیشنهادی در تخمین حالت های وضعیت و غیروضعیت ماهواره با استفاده از داده های حسگر مغناطیسی و ژایروها نسبت به روش های قطعی یا گام به گام است.



ب: خطای تخمین بایاس ژایروها

**مثال سوم: اندازه گیری آسنکرون با استفاده از حسگر مغناطیسی و حسگر خورشید**  
در این مثال اندازه گیری های انجام شده توسط حسگرهای مغناطیسی و حسگر خورشیدی به دلیل وقوع کسوف، در بخشی از مدار ماهواره همزمان نیستند. در فاصله زمانی بین ۲۰۰۰ تا ۳۸۰۰ ثانیه (از ۴۰۰۰ ع نمونه) داده ای از حسگر خورشیدی به علت وقوع کسوف موجود نیست و از این رو در این بازه زمانی، تخمین صرفاً بر اساس داده های حسگر مغناطیسی انجام می گیرد. پس از این بازه زمانی و با خارج شدن ماهواره از سایه زمین، داده های حسگر خورشیدی نیز برای تخمین مورد استفاده قرار می گیرد. نتایج شبیه سازی این مثال



الف: خطای تخمین وضعیت

شکل ۴- خطای تخمین وضعیت و بایاس ژایرو با استفاده از دو روش qEKF و SOAR در مثال ۳

- attitude determination system for a nano-satellite," in *AIAA/AAS Astrodynamics Specialist Conference and Exhibit*, 2018, p. 6933.
- [4] B. Hou, Z. He, H. Zhou, and J. J. I. C. J. o. A. S. Wang, "Integrated design and accuracy analysis of star sensor and gyro on the same benchmark for satellite attitude determination system," vol. 6, no. 4, pp. 1074-1080, 2019.
- [5] S. Judd *et al.*, "Attitude determination and control system (ADCS), sun sensor, and star tracker," ed: Google Patents, 2019.
- [6] S. Sabzevari, A. Vali, M. H. Ferdowsi, M. R. J. I. R. Arvan, Sonar, and Navigation, "Observability analysis and design of two nested filters for the satellite attitude estimation with magnetometer-only," vol. 14, no. 4, pp. 607-618, 2020.
- [7] T. N. T. Nguyen, K. L. Cahoy, and M. K. Quadrino, "Attitude determination using earth horizon sensors," ed: Google Patents, 2019.
- [8] A. M. Tavakoli, A. Faghihi and S. Mohammad M. Dehghan, "Sun Vector and Magnetic Vector Simulation for Hardware in the Loop Tests," vol. 10, no. 1, pp. 47-53, 2017.
- [9] M. H. J. N. Y. Kaplan, John Wiley and I. Sons, . 427 p., "Modern spacecraft dynamics and control," 1976.
- [10] T. Ainscough, R. Zanetti, and J. Christian, "Q-Method Extended Kalman Filter," *Journal of Guidance, Control, and Dynamics*, vol. 38, pp. 752-760, 04/01 2015.
- [11] H. D. J. A. j. Black, "A passive system for determining the attitude of a satellite," vol. 2, no. 7, pp. 1350-1351, 1964.
- [12] G. Wahba, "A least squares estimate of satellite attitude," *SIAM Review*, vol. 7, no. 3, pp. 409-409, 1965.
- [13] J. Keat, "Analysis of least-squares attitude determination routine DOAOP," Technical Report CSC/TM-77/6034, Comp. Sc. Corp 1977.
- [14] X. Chen, L. Cao, P. Guo, and B. J. I. T. Xiao, "A higher-order robust correlation Kalman filter for satellite attitude estimation," 2019.
- [15] N. Li, W. Ma, W. Man, L. Cao, and H. J. T. J. o. N. Zhang, "Multiple Robust High-degree Cubature Kalman Filter for Relative Position and Attitude Estimation of Satellite Formation," Published online by Cambridge University Press, vol. 72, no. 5, pp. 1254-1274, 2019.
- [16] A. Junoh, S. Yaacob, M. Hasan, and N. Hamzah, "The study of particle filter for satellite angular rate estimation without rate sensor measurement," *MATEC Web of Conferences*, vol. 150, 2018.
- [17] C. Hajjiyev and D. M. Guler, "Review on gyroless attitude determination methods for small satellites," *Progress in Aerospace Sciences*, vol. 90, pp. 54-66, 2017.

## جمع‌بندی

محدودیتهای دو روش تعیین وضعیت قطعی و تکراری باعث شده است که ایده ترکیب این دو روش برای توسعه الگوریتم‌های تعیین وضعیت مورد توجه محققان این حوزه قرار گیرد. از ایده فیلتر کالمن توسعه یافته به عنوان روش تکراری و روش Quest به عنوان روش قطعی برای توسعه الگوریتم qEKF بهره گرفته شده است که در این مقاله کاربرد این روش برای تعیین وضعیت ماهواره در مدارهای نزدیک به زمین و با استفاده از حسگرهای مغناطیسی و خورشیدی مورد ارزیابی قرار گرفته است. علاوه بر این، روش‌های قطعی کارایی مناسبی در تخمین حالت‌های غیروضیت مانند بایاس ژایروها را ندارند و روش پیشنهادی برای این چالش نیز غلبه می‌کند. مبانی ریاضی موضوع در این مقاله به تفصیل مورد بررسی قرار گرفت و معادلات الگوریتم qEKF برای تخمین هم‌زمان حالت‌های وضعیت و غیر وضعیت استخراج شد. با انجام شبیه‌سازی‌های مختلف، که تاثیر شرایط مختلف عملکردی ماهواره را بر زیرسیستم تعیین وضعیت شبیه‌سازی می‌کنند، عملکرد این روش مورد ارزیابی قرار گرفت. مقایسه نتایج با روش SOAR به عنوان یکی از روش‌های کارا در تعیین وضعیت ماهواره نشان‌دهنده عملکرد قابل قبول روش پیشنهادی برای تعیین وضعیت ماهواره با استفاده از حسگرهای خورشیدی و مغناطیسی در قیاس با دیگر روش‌ها دارد. روش پیشنهادی حتی در زمان قرارگیری ماهواره در سایه خورشید نیز عملکرد قابل قبولی دارد و این عملکرد مناسب در تخمین بایاس ژایروها نیز تداوم دارد. از این‌رو می‌توان با استفاده از این الگوریتم، تعیین وضعیت ماهواره را مدارهای نزدیک به زمین با دقت قابل قبولی انجام داد بدون این که نیازی باشد تا بین الگوریتم‌های قطعی و تکراری سوچیج کرد.

## مراجع

- [1] J. C. Springmann, "Satellite Attitude Determination with Low-Cost Sensors," 2013.
- [2] A. Hossein Adami and M. Nosratollahi, "Introducing of Attitude Determination System of a LEO Satellite with Orbital Maneuver Mission," *Journal of Space Science and Technology (JSST)*, vol. 4, no. 4, pp. 1-10, 2012.
- [3] P. Moonjelly, M. Ambalavanan, D. Filmer, and J. Longuski, "Development of a low-cost, low-power